

液層の流れの回転力による安定化

慶大工 長谷川英治
岩崎 安雄

鉛直壁を流れ落ちる液層の乱れの発生についての実験は、機構上の容易さのためにもあって、円筒壁上に沿って液体を流すことにより行なうのが普通である。この流れは非常に乱れ易く、乱れの発生はじめの状況を實際に調べることは大変困難であって、事実過去の研究でも乱れの発生する臨界レイノルズ数は1から10の範囲にらばつている⁽¹⁾。この様な流れの線型の範囲内での安定性の計算からは、平面壁に沿う流れの臨界レイノルズ数は零であり⁽²⁾、壁面に曲率のある場合には流れは益々不安定化される⁽³⁾ことが予想されている。そんな訳で鉛直壁に沿う流れで、極く少しある乱れの範囲での実験、殊に臨界レイノルズ数を求めることはもともと無理であった様である。

一方、円筒壁に沿う流れは、化学工業上重要な工程でよく用いられている流れであり、それらの場合に工程の完全な制

御を行うには、十分性質の知られた流れ、即ち層流状態を保つことが望しい場合が多い。

ここでは円筒を回転させて、液層を円筒壁に押しつけることにより流れを安定化させ乱れの発生と初期段階の乱れの状態を調べることとした。その結果回転による流れの安定化の程度と壁面の曲率との関係の様子を線型安定論による計算とそれに対応した実験を行な比較検討した。

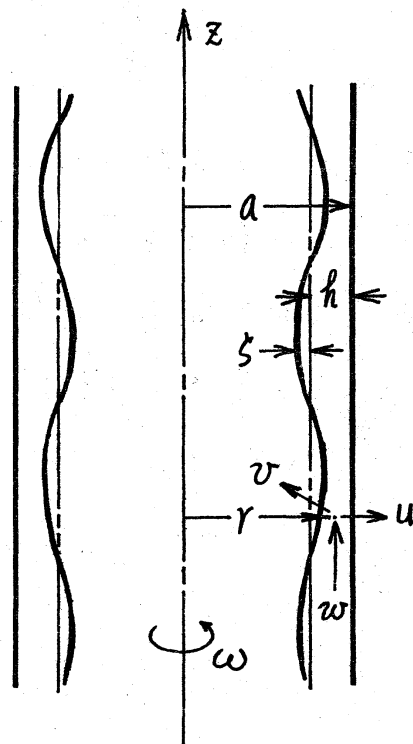
1. 基礎の流れ

回転する無限に長い鉛直円管の内壁を重力の作用のもとに流れ落ちる液層の層流解は、回転円筒の軸を z 軸とする円筒座標 (r, θ, z) をとり、それに対応する速度成分を (u, v, w) とすれば、

$$u = 0$$

$$v = \omega r,$$

$$w = \frac{g}{2\nu} \left\{ \frac{1}{2} (r^2 - a^2) - (a - h)^2 \log \frac{r}{a} \right\},$$



$$p = p_0 + \frac{1}{2} \rho \omega^2 \left\{ r^2 - (a-h)^2 \right\} - \frac{T}{a-h}.$$

である。ここで a : 円筒内半径, h : 液層の厚さ, ω : 回転数, ρ : 密度, ν : 動粘性係数, g : 重力加速度, T : 表面張力係数, p_0 : 大気圧である。また、自由表面上での軸方向の速度の大きさ w_0 は

$$w_0 = \frac{gh^2}{2\nu} \cdot \frac{1}{\beta} \quad \text{である。}$$

$T = T_0 = L$.

$$\frac{1}{\beta} = (k-1)^2 \log \frac{k-1}{k} - \frac{1}{2} \{(k-1)^2 - k^2\},$$

$$k = \frac{a}{h}.$$

2. 計れの方程式

以下では軸対称擾乱のみに限る。計れのあり場合の速度成分と圧力を前述の定常解と擾動量との和で表し、非圧縮粘性流体の連続の方程式と運動方程式とに代入し、擾動量について線型化すれば。

$$\frac{\partial u}{\partial t} + W \frac{\partial u}{\partial z} - 2V \frac{v}{r} = - \frac{1}{\rho} \frac{\partial p}{\partial r} + \nu \left(\nabla^2 - \frac{1}{r^2} \right) u$$

$$\frac{\partial v}{\partial t} + \left(V' + \frac{1}{r} \right) u + W \frac{\partial v}{\partial z} = \nu \left(\nabla^2 - \frac{1}{r^2} \right) v$$

$$\frac{\partial w}{\partial t} + W' u + W \frac{\partial w}{\partial z} = - \frac{1}{\rho} \frac{\partial p}{\partial z} + \nu \nabla^2 w$$

$$\frac{\partial}{\partial r} (r u) + \frac{\partial}{\partial z} (r w) = 0$$

となる。ただし $\nabla^2 = \frac{\partial^2}{\partial r^2} + \frac{1}{r} \frac{\partial}{\partial r} + \frac{\partial^2}{\partial z^2}$ である。

上の式における境界条件はまず円筒壁面上での粘着の条件

$$r = a; \quad u = v = w = 0$$

である。次に自由表面上の条件としては、面に垂直方向の力の釣合の式

$$r = a - h; \quad p + P' \zeta = 2\mu \frac{\partial u}{\partial r} + T \left(\frac{\zeta}{(a-h)^2} + \frac{\partial^2 \zeta}{\partial z^2} \right)$$

と接線方向の釣合の式

$$r = a - h; \quad W'' \zeta + \frac{\partial w}{\partial r} + \frac{\partial u}{\partial z} = 0$$

$$r = a - h; \quad \frac{\partial v}{\partial r} - \frac{v}{r} = 0$$

である。ここで μ : 粘性係数, $'$: r についての微分を示す。

長さは h で、時間は h/w_0 で、速度は w_0 で、圧力は ρw_0^2

で無次元化し。

$$u = \frac{1}{r} \frac{\partial \phi}{\partial z}, \quad w = -\frac{1}{r} \frac{\partial \phi}{\partial r}$$

なら流れ関数を導入し、 z 方向の流れの場の一様性を考慮し

τ

$$\psi(t, r, z) = \phi(r) e^{i\alpha(z-ct)}$$

$$v(t, r, z) = \chi(r) e^{i\alpha(z-ct)}$$

おまけに表せば、乱れルーチンの次の方程式系を得る。

$$(W-c)(\phi'' - \frac{1}{r}\phi' - \alpha^2\phi) - D^2W\phi - 2\Omega r\chi \\ = \frac{1}{i\alpha R} \left\{ \phi''' - \frac{2}{r}\phi''' - \left(2\alpha^2 - \frac{3}{r^2}\right)\phi'' \right. \\ \left. + \frac{1}{r}\left(2\alpha^2 - \frac{3}{r^2}\right)\phi' + \alpha^4\phi \right\} \quad (1)$$

$$(W-c)\chi + \frac{2\Omega}{r}\phi \\ = \frac{1}{i\alpha R} \left\{ \chi'' + \frac{1}{r}\chi' - \left(\alpha^2 + \frac{1}{r^2}\right)\chi \right\} \quad (2)$$

境界条件

$$r = k; \quad \phi = \phi' = \chi = 0 \quad (3)$$

$$r = k-1;$$

$$\phi''' - \frac{1}{k-1}\phi'' - \left\{ 3\alpha^2 - \frac{1}{(k-1)^2} - i\alpha R(c+1) \right\} \phi'$$

$$+ \left(\frac{2\alpha^2}{k-1} + \frac{i\alpha R}{c+1} \left[\Omega^2(k-1) + S_t \left\{ \alpha^2 - \frac{1}{(k-1)^2} \right\} \right] \right) \phi = 0, \quad (4)$$

$$\phi'' - \frac{1}{k-1} \phi' + \left(\alpha^2 + \frac{2\beta}{1+c} \right) \phi = 0, \quad (5)$$

$$X' - \frac{1}{k-1} X = 0 \quad (6)$$

$\therefore \tau'$ は $r_1 = r$ の微分, $D^2 = \partial^2/\partial r^2 - 1/r \cdot \partial/\partial r$,
 $W = \{(r^2 - k^2)/2 - (k-1)^2 \log(r/k)\} \beta$, $\Omega = \omega h/\omega_0$,
 $R = \omega_0 h/v$, $S_t = T/\rho \omega_0^2 h$, α : 次数, c : 位相速度を
 表す。

上式で回転のない場合 $k=1$ は ($\Omega=0$), ϕ の方程式は内筒
 内壁に沿う流れの方程式と一致する⁽³⁾。

3. 平面壁の場合

速度の厚さ比 1 . 内筒半径が非常に大きい場合 $k=1$ は ($k \rightarrow \infty$), (1), (3), (4), (5) は

$$(W-c)(\phi'' - \alpha^2 \phi) - W'' \phi = \frac{1}{i\alpha R} (\phi''' - 2\alpha^2 \phi + \alpha^4 \phi),$$

$$\phi''' - \{3\alpha^2 - i\alpha R(1+c)\} \phi'$$

$$+ \frac{i\alpha R}{1+c} \left(\frac{2}{R} \gamma + S_t \alpha^2 \right) \phi = 0, \quad (\text{自由表面上で})$$

$$\phi'' + \left(\alpha^2 + \frac{2}{1+c} \right) \phi = 0, \quad ,$$

$$\phi = \phi' = 0 \quad (\text{円筒壁上で})$$

となり。これは(傾斜角 $\theta = \cot^{-1}(\gamma)$) なら斜面を重力のもとに流れ落ちる密度の流れの方程式系と全く同じである。⁽⁴⁾ 但し、 $\gamma = \omega^2 a / g$ である。即ち、遠心力と重力を斜面に垂直方向への重力の成分と接線方向への成分で各々引き算したものに等しい。従って、この場合の臨界レイノルズ数 R_c

は

$$R_c = \frac{5}{4} \gamma \quad (7)$$

となる。

4. レイノルズ数が小さい場合

遠心力と表面張力とを表わす無次元量 Ω と S_t とは各々レイノルズ数 R により

$$\Omega^2 = \frac{\omega^2 h^4}{\nu^2} \cdot \frac{1}{R^2}, \quad S_t = \frac{T h}{\rho \nu^2} \cdot \frac{1}{R^2}$$

の様に書き換えられる。従って、 R の途中で展開する二つより固有値問題を解いたものとすれば、固有値はもとより次數

の通り、自由表面での垂直方向の力の釣り合式の最後の項

より

$$\frac{\omega^2 h^4}{\nu^2} (k-1) + \frac{T h}{\rho \nu^2} \left\{ \alpha^2 - \frac{1}{(k-1)^2} \right\} = 0$$

となり、臨界波数 α_c が

$$\alpha_c = \frac{1}{k-1} \sqrt{1-\Gamma} \quad (8)$$

$$\text{したがって, } \Gamma = \frac{\rho \omega^2 (a-h)^3}{T}$$

となる。ここで $\Gamma=0$ とすれば、回転のない円筒壁に沿う流れの場合と一致する。回転の効果は自由表面での遠心力と表面張力の比 Γ で表され、回転数の増大は臨界波数を下さし、 $\Gamma=1$ で中立曲線は $\alpha=R$ 面の厚さを通るといふ。

5. 波数が大きい場合

波数 $\alpha \gg 1$

$$\phi = \phi_0 + \alpha \phi_1 + \alpha^2 \phi_2 + \dots$$

$$X = X_0 + \alpha X_1 + \alpha^2 X_2 + \dots$$

$$C = C_0 + \alpha C_1 + \alpha^2 C_2 + \dots$$

の様に展開すれば、オイラーの式は

$$\phi_0''' - \frac{2}{r} \phi_0'' + \frac{3}{r^2} \phi_0'' - \frac{3}{r^3} \phi_0' = 0$$

$$x_0'' + \frac{1}{r} x_0' - \frac{1}{r^2} x_0 = 0$$

$r = k-1$:

$$\phi_0''' - \frac{1}{k-1} \phi_0'' + \frac{1}{(k-1)^2} \phi_0' = 0$$

$$\phi_0'' - \frac{1}{k-1} \phi_0' + \frac{2\beta}{1+c_0} \phi_0 = 0$$

$$x_0' - \frac{1}{k-1} x_0 = 0$$

$r = k$:

$$\phi_0 = \phi_0' = x_0 = 0$$

を得る。この解は

$$c_0 = -2 \quad (9)$$

$$\phi_0 = \frac{k^2}{2} - \frac{2 \log k + 1}{2} r^2 + r^2 \log r \quad (10)$$

$$x_0 = 0 \quad (11)$$

である。

(11) 式より、 γ -近似では X_1 の値は ϕ は

$$\begin{aligned} \phi_1''' - \frac{2}{r} \phi_1'' + \frac{3}{r^2} \phi_1'' - \frac{3}{r^3} \phi_1' \\ = iR \left\{ (W - c_0) \left(\phi_0'' - \frac{1}{r} \phi_0' \right) - D^2 W \phi_0 \right\} \end{aligned}$$

$r=k-1$:

$$\begin{aligned}\phi_r''' - \frac{1}{k-1} \phi_r'' + \frac{1}{(k-1)^2} \phi_r' \\ = -iR(c_0+1) \phi_r' - \frac{iR}{c_0+1} \left[\Omega^2(k-1) + St \left\{ \alpha^2 - \frac{1}{(k-1)^2} \right\} \right] \phi_r.\end{aligned}$$

$$\phi_r'' - \frac{1}{k-1} \phi_r' + \frac{2\beta}{1+c_0} \phi_r = \frac{2\beta c_1}{(1+c_0)^2} \phi_r.$$

$r=k$:

$$\phi_r = \phi_r' = 0$$

から決定される。この方程式系は比較的複雑なため、 k の途中で諸量を展開し、流度が薄い場合 ($\rightarrow 0$) を調べてみた。その結果、 k^2 の程度の近似で、

$$\begin{aligned}c_1 = \frac{iR}{3} & \left\{ 2 \left(\frac{4}{5} - \frac{\sigma}{R} \right) + \frac{1}{3k} \left(\frac{4r}{R} - \frac{11}{7} \right) \right. \\ & \left. - \frac{1}{45k^2} \left(\frac{\sigma}{R} + \frac{83}{14} \right) \right\} \quad (12)\end{aligned}$$

を得た。 (9) 式と (12) 式より、臨界レイノルズ数 R_c を求めると

$$R_c = \frac{5}{4} \left(1 - \frac{19}{56} \frac{1}{k} - \frac{829}{47040} \frac{1}{k^2} \right) r \quad (13)$$

となる。これより、第一項は平面壁 (7) 式に一致し⁽⁵⁾、曲率は流れを不変化するとしている。

6. 一般の場合

任意の波数、レイノルズ数の場合には、自由表面と円筒壁面上より各々三個ずつの独立系級数解を行ひ、液層の中央でそれ等の線型結合により表された解がすみやかに接続するための條件、即ち、適合性の條件より數値的に中立曲線を求める。

7. 計算の結果

20°C の水の場合を例にとって、計算した中立安定曲線を図

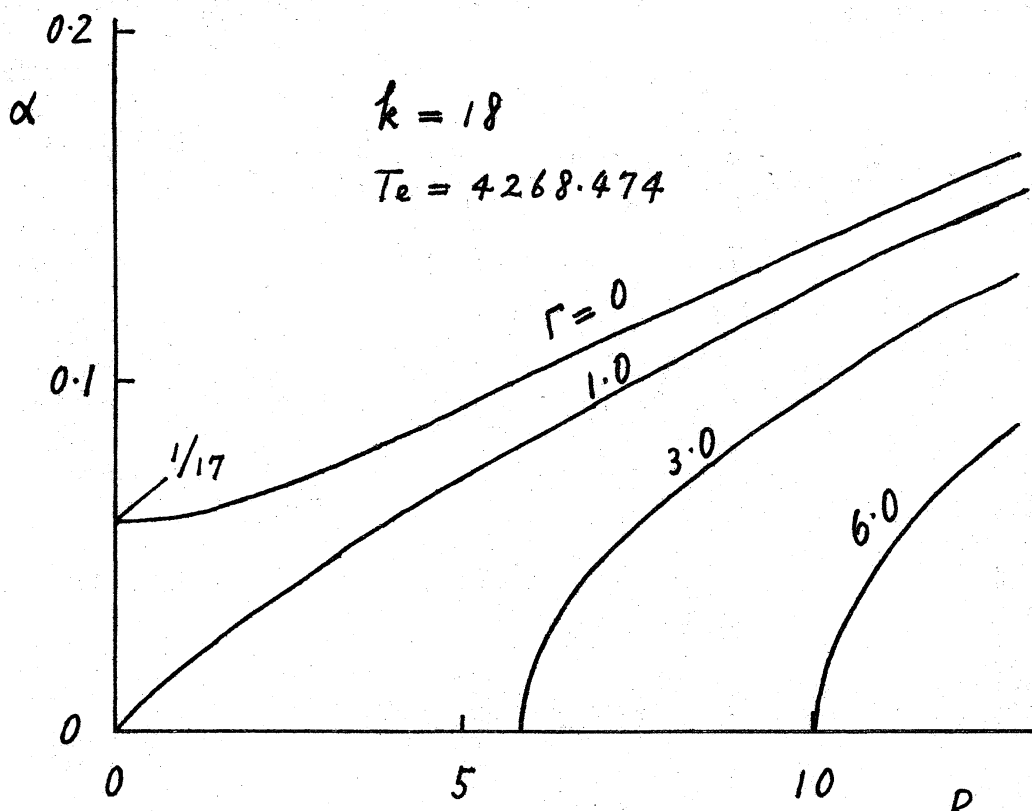


図 - 1

-1, 図-2に示す。曲線の上方が安定領域、下方が不安定領域である。ただし T_e は $S_t = T_e \beta^{1/3} / R^{5/3}$, $T_e = T/\rho \cdot (2/g v^4)^{1/3}$ である。それまに対する位相速度のゲートが図-3, 図-4である。

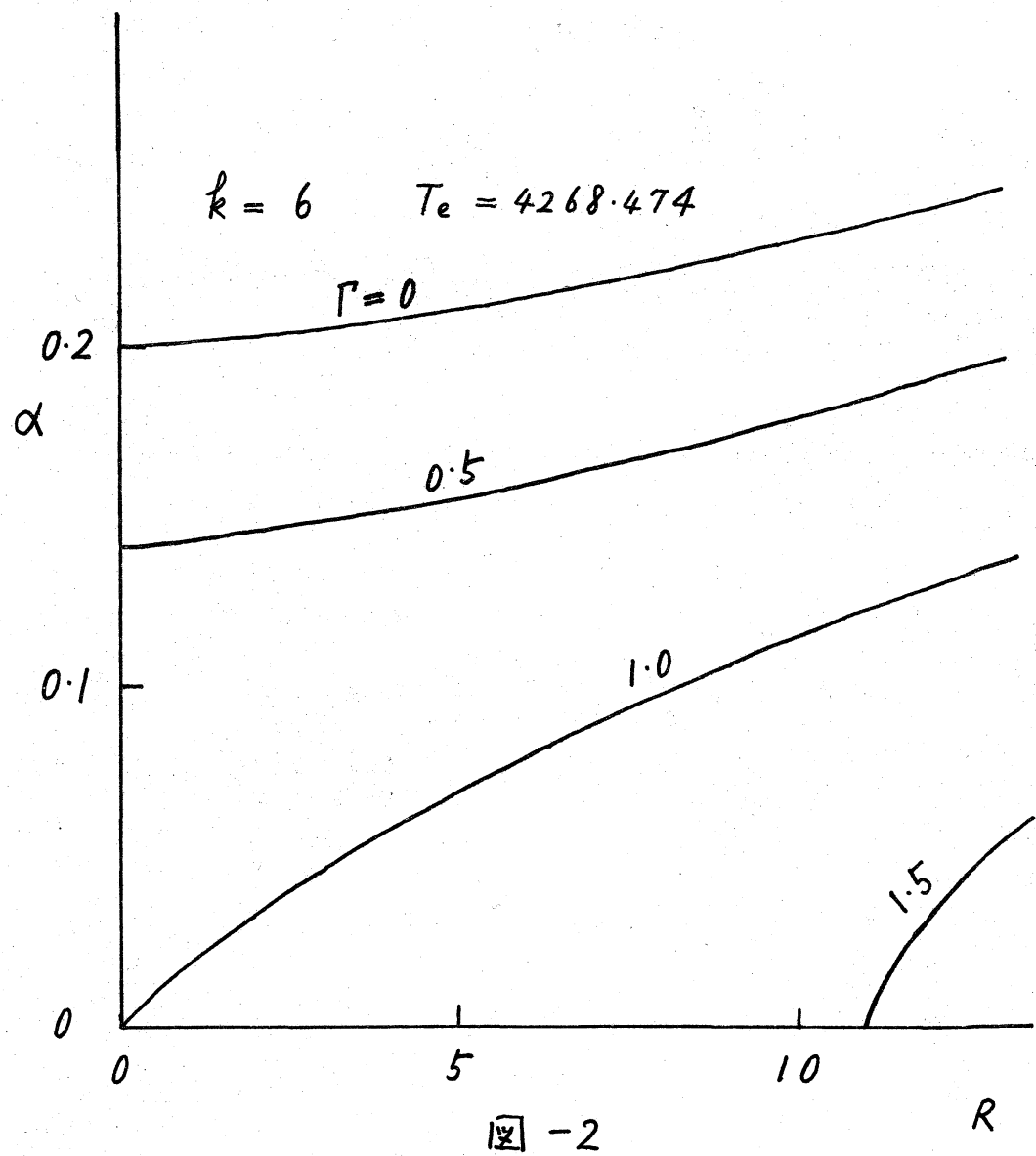


図-2

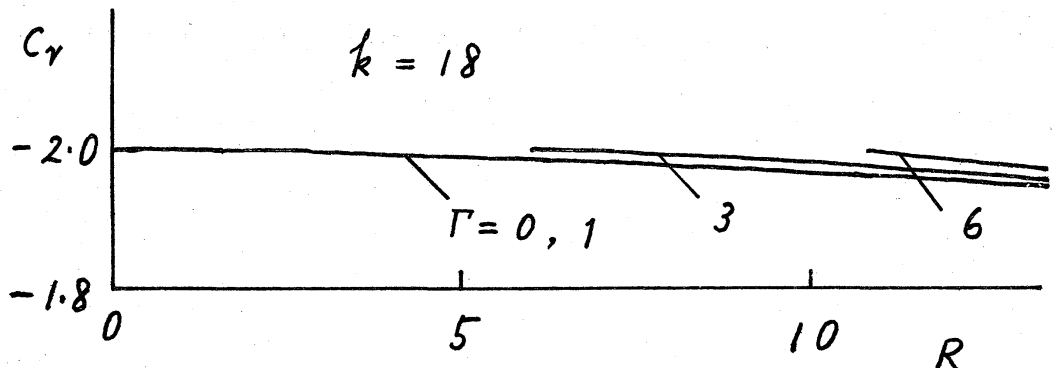


図-3

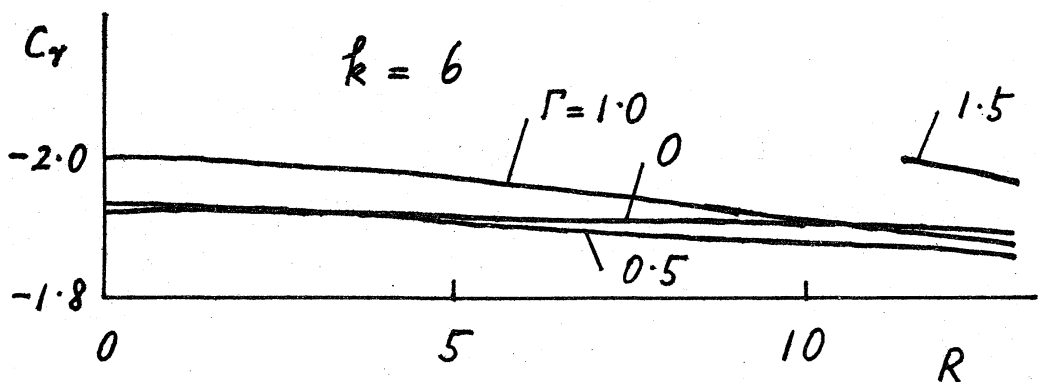
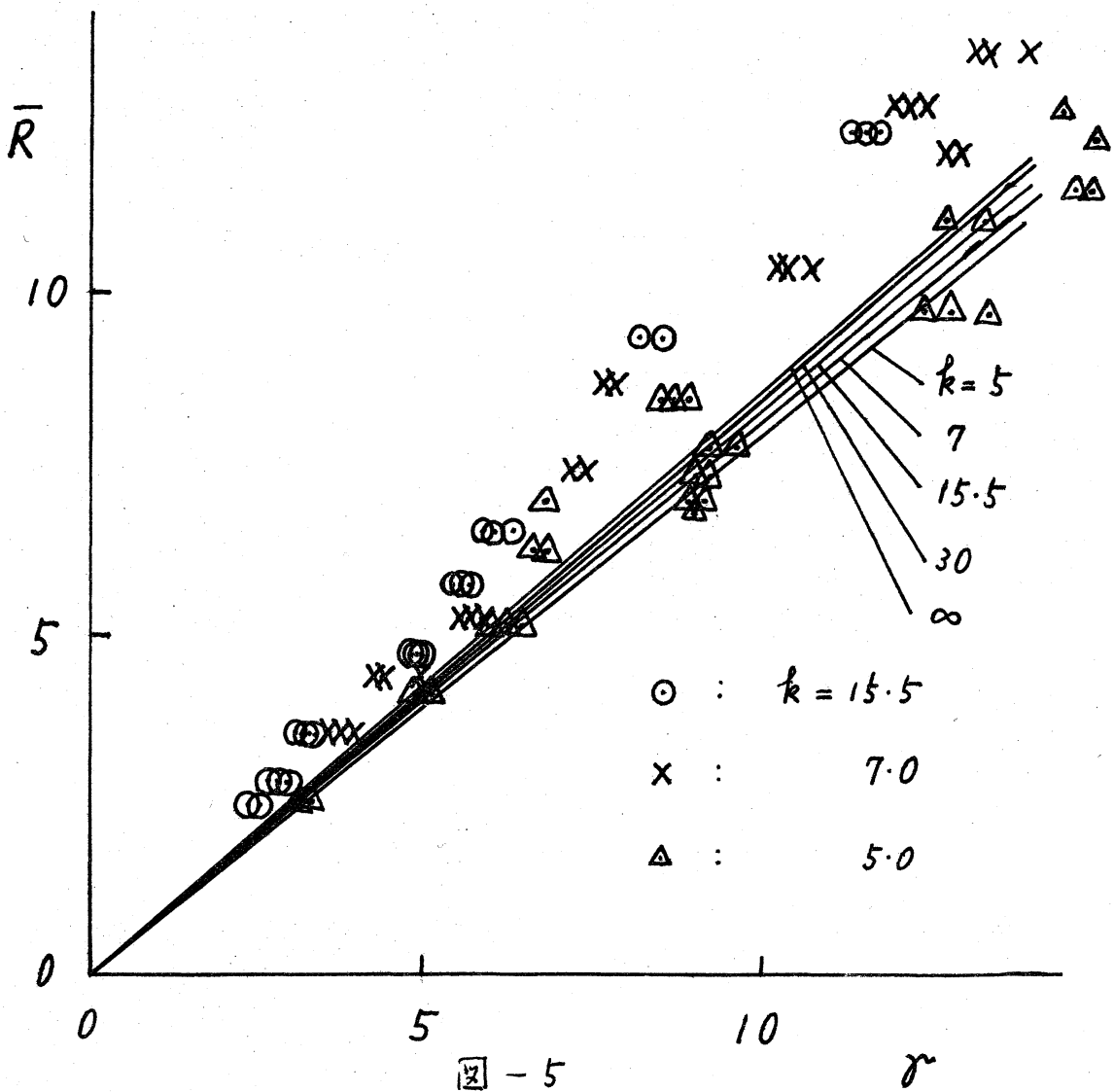


図-4

8. 実験との比較

上記の計算値と実際の流れでの値を比較するため、色々な濃度のグリセリン水溶液を用い、二種類の円筒パイプ（半径 0.93 cm , 2.3 cm ）にて、回転数 $\omega = 10 \sim 1300$ r.p.m., 流量 $Q = 0.5\text{ cc/s} \sim 15\text{ cc/s}$ の範囲で実験を行った。これらの存在の確認は液滴に平行光線を透過させ、その影の濃淡のあるなしにより判定した。臨界状態はある一定流量の下で、回転数を上げたり下げたりしながら、前述の影

が消えら点を示す。その様にして得た臨界レイノルズ数と回転数を表す $\bar{R} = \omega^2 a / g$ の関係を示したのが図-5である。図中の実線は計算値、式(13)を種々の k について描いたものである。ただし、ここで用いたレイノルズ数は液層における平均流速をもとにして表してある。実験値は曲率の影響を示し、曲率が大きい程流れが不安定となることが



認めらる。その曲線の勾配は計算値よりも大きく、より安定側に立てるが、比較的よく一致してゐる。実験値は回転を大きくすれば、臨界レイノルズ数は直線的に小さくなることを示し、この実験では最低の臨界レイノルズ数として、2~3までであるが、いまく回転数を進むながら減少されば、薄い液層の場合、臨界レイノルズ数は零にならうではないかと思われる。なお、波の位相速度についても同時に測定を行つたが、いつれの場合にも位相速度は2.0の附近にはほとんど差異が認められない程度に集中する。

以上のことより、縦型の範囲の計算でも比較的よく現象を説明することができるといふべかられた。

文献

- (1) A.M. Binnie, J. Fluid Mech. 2 (1957), 551
- (2) T.B. Benjamin, J. Fluid Mech. 2 (1957), 554
- (3) E. Hasegawa and C. Nakaya, J. Phys. Soc. Japan 29 (1970), 1634
- (4) C.S. Yih, Phys. Fluids, 6 (1963), 321
- (5) G.S.R. Sarma, P.C. Lu and S. Ostrach, Phys. Fluids 14 (1971), 2265